

РЕКОМЕНДАЦИИ  
ФИЛЬТРЫ АКУСТООПТИЧЕСКИЕ  
ТИПЫ, ОСНОВНЫЕ ПАРАМЕТРЫ, МЕТОДЫ ИЗМЕРЕНИЙ

Р 50-124-91

14 руб.  
б3 2-92

КОМИТЕТ СТАНДАРТИЗАЦИИ И МЕТРОЛОГИИ СССР  
Москва

**РЕКОМЕНДАЦИИ**

**РЕКОМЕНДАЦИИ  
ФИЛЬТРЫ АКУСТООПТИЧЕСКИЕ**

**P 50—124—91**

**Типы, основные параметры, методы измерений**

**ОКСТУ 6684**

**Дата введение 01.01.93**

Настоящие рекомендации распространяются на акустооптические (АО) фильтры, предназначенные для выделения узкой линии оптического излучения из широкого спектрального диапазона излучения источника, и устанавливают типы, основные параметры и методы их измерений.

**1. ТИПЫ**

1.1. В зависимости от выбранной геометрии взаимодействия при анизотропной дифракции света на акустической волне устанавливают два типа АО фильтров:

- КАОФ — коллинеарные АО фильтры;
- НКАОФ — неколлинеарные АО фильтры.

**2. ОСНОВНЫЕ ПАРАМЕТРЫ АО ФИЛЬТРОВ**

2.1. Основные параметры АО фильтров и их обозначения:

1. Ширина полосы пропускания  $\delta\lambda_{0,5}$ , нм, на уровне 0,5.
2. Рабочая длина волны  $\lambda_0$ , нм.
3. Быстродействие  $\omega$ ,  $\text{с}^{-1}$ .
4. Эффективность дифракции  $\eta$ ,  $\text{Вт}^{-1}$ .
5. Рабочий диапазон длин волн  $\lambda_{\max} - \lambda_{\min}$ , нм.
6. Оптический контраст  $m_x$  — выключенного и  $m_r$  — включенного фильтра.

Издание официальное

© Издательство стандартов, 1992

Настоящие рекомендации не могут быть полностью или частично воспроизведены, тиражированы и распространены без разрешения Госстандарта СССР

7. Угловая апертура  $\phi$ , рад, (...°).
8. Максимально допустимый уровень входного сигнала  $p_{\max}$ , Вт.
9. Полоса частот управляющего сигнала  $f_1-f_2$ , МГц.
10. Входной электрический импеданс  $R_{\text{вх}}$ , Ом.
11. Угол дифракции света  $\theta$ , рад (...°) на акустической волне.
- 2.2. Параметры с 1-го по 7-й являются основными, значения которых должны быть указаны в технических условиях АО фильтра конкретного типа (ТУ).

Параметры с 8-го по 11-й являются дополнительными информативными, необходимость нормирования и способы измерения которых должны указываться в ТУ.

2.3. Аналитические соотношения, определяющие основные параметры АО фильтров, приведены в приложении 1.

### 3. МЕТОДЫ ИЗМЕРЕНИЙ ОСНОВНЫХ ПАРАМЕТРОВ АО ФИЛЬТРОВ

#### 3.1. Условия и режим измерений

3.1.1. Измерения проводят в нормальных климатических условиях по ГОСТ 22261.

3.1.2. До проведения измерений АО фильтры, находившиеся в климатических условиях, отличных от условий измерений, необходимо выдержать в нормальных климатических условиях в течение времени, установленного в ТУ.

3.1.3. Максимальное напряжение на входе АО фильтра должно соответствовать значению, установленному ТУ.

#### 3.2. Аппаратура

3.2.1. Средства измерений, применяемые для измерения параметров АО фильтров, должны соответствовать техническим требованиям ГОСТ 22261.

3.2.2. Средства измерений и вспомогательные устройства должны обеспечивать согласование входных электрических импедансов соответствующим значениям АО фильтров.

3.2.3. Рекомендуемые типы средств измерений приведены в приложении 2.

#### 3.2.4. Основные требования к средствам измерения

3.2.4.1. Лазер измерительный, ИЛДВн — по ГОСТ 25373:

длина волны излучения должна входить в рабочий диапазон длин волн АО фильтра;

мощность оптического излучения не менее 2 мВт.

3.2.4.2. Генератор измерительный высокочастотный:

предел основной погрешности установки частоты не более 1 %;

диапазон частот не менее 25—200 МГц;

коэффициент гармоник не более 5 %;

вольновое сопротивление выхода 50 Ом.

**3.2.4.3. Генератор измерительный импульсный:**  
диапазон длительностей основных импульсов  $0,5 \div 1000$  мкс;  
максимальная амплитуда основных импульсов на внешней на-  
грузке 500 Ом, — не менее 50 В.

Должна обеспечиваться плавно-ступенчатая регулировка ам-  
плитуды от  $A_{\max}$  до  $0,3 A_{\max}$  и ослабление с коэффициентами 1; 0,3;  
0,1; 0,03.

**3.2.4.4. Осциллограф:**  
число измерительных каналов — 2;  
частотный диапазон не выше 2 МГц;  
измеряемое входное напряжение не менее 50 мВ;  
основная погрешность измерения амплитуды входного сигнала  
не более 2 %.

**3.2.4.5. Панорамный измеритель коэффициента  
стоячей волны (КСВН):**  
диапазон частот 1—1250 МГц;  
погрешность измерения рабочей частоты не должна превышать  
 $\pm 0,5$  %;  
погрешность измерения КСВН (в пределах значений от 1,05 до  
2,0) — не более  $\pm 0,5$  дБ.

**3.2.4.6. Электронно-счетный частотометр:**  
предел основной погрешности измерения частоты не более  
0,5 %;  
напряжение входного сигнала не менее 0,03 В;  
диапазон измеряемых частот 1—200 МГц.

**3.2.4.7. Селективный вольтметр:**  
предел допускаемой основной погрешности измерения напря-  
жения не более  $\pm 10$  % конечного значения установленного ди-  
апазона;

модуль полного входного сопротивления должен превышать мо-  
дуль полного электрического сопротивления источника сигнала  
не менее чем в 5 раз;

полоса пропускания 0,02—100 кГц.

**3.2.4.8. Фотоэлектронный усилитель (фотопри-  
емник):**

рабочий диапазон длин волн — 400—850 нм;  
напряжение питания не более 1700 В;  
световая чувствительность фотокатода  $6 \cdot 10^{-5}$  А/лм.

**3.2.4.9. Поларизator:**

рабочий диапазон длин волн — 300—850 нм;  
световая апертура не менее  $3 \times 3$  мм<sup>2</sup>;  
оптический контраст не менее 40000.

**3.3. Нестандартизированные узлы и элементы**

**3.3.1. Обтюратор:**

частота прерывания пучка — 1 кГц.

**3.3.2. Линза:**

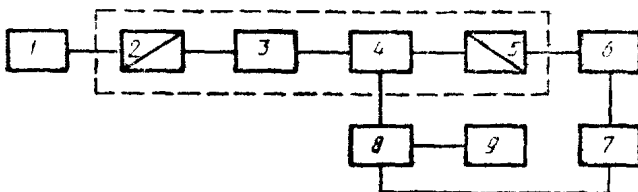
световой диаметр 15—30 мм;  
фокусное расстояние  $F = 20—40$  мм.

3.3.3. Диафрагма должна допускать возможность изменения диаметра светового пучка в пределах 1—10 мм.

#### 3.4. Проведение измерений

##### 3.4.1. Определение эффективности дифракции

Эффективность дифракции определяют по схеме черт. 1.



1 — лазер; 2, 5 — поляризаторы; 3 — обтюратор; 4 — АО фильтр; 6 — фотоприемник; 7 — осциллограф; 8 — ВЧ-генератор; 9 — импульсный генератор

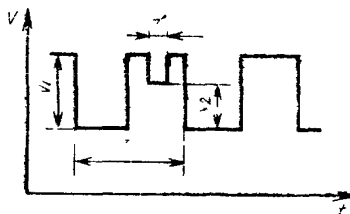
Черт. 1

Излучение лазера 1 проходит через поляризатор 2, модулируется по интенсивности механическим прерывателем-обтюратором 3 и поступает в АО фильтр 4, где частично дифрагирует с поворотом плоскости поляризации на  $90^\circ$ . АО фильтр работает в импульсном режиме, который обеспечивается формированием периодической последовательности радиоимпульсов с помощью ВЧ-генератора 8 и импульсного генератора 9. Дифракцию исследуют в непродифрагированном луче, поляризация которого идентична поляризации падающего. Продифрагировавший луч отделяется от непродифрагированного с помощью поляризатора 5 и поступает на фотоприемник 6, сигнал с которого наблюдается на осциллографе 7. Диаметр светового пучка должен быть меньше размера светочувствительной площадки фотоприемника. Сигнал с контрольного выхода ВЧ-генератора 8 поступает на второй измерительный канал осциллографа 7, что позволяет регистрировать уровень управляющего ВЧ-сигнала.

Эффективность дифракции на данной частоте  $f$  рабочего диапазона определяют по осциллограмме, типичный вид которой представлен на черт. 2. Период следования импульсов  $T$  определяется частотой вращения обтюратора 3 (черт. 1), а напряжение импульсов  $V_1$  пропорционально интенсивности света, прошедшего через АО фильтр, в отсутствие дифракции. При подаче на фильтр импульсов длительностью  $\tau$  часть света дифрагирует, при этом интенсивность прошедшего света пропорциональна  $V_2$ , т. е. — амплитуде сигнала на осциллограмме, обратно пропорциональной

эффективности дифракции. С учетом  $P_{\text{эл}}$  — амплитуды управляющего ВЧ-сигнала, отсчитанной по показаниям контрольного канала осциллографа — искомую эффективность дифракции  $\eta_{\text{диф}}$  рассчитывают по соотношению

$$\eta_{\text{диф}} = \frac{V_1 - V_2}{V_1 P_{\text{эл}}} \cdot 100 (\% / \text{Вт}). \quad (1)$$



$T$  — период следования импульсов;  $V_1$  — напряжение импульсов генератора;  $V_2$  — напряжение характеризующее длительность акустического импульса;  $V$  — текущее значение напряжения;  $t$  — текущее время

Черт 2

### 3.4.1.2. Подготовка к измерениям

Аппаратуру готовят к измерениям в соответствии с эксплуатационной документацией на нее.

Устанавливают на генераторе уровень выходного сигнала в соответствии с ТУ на АО фильтры.

### 3.4.1.3. Порядок выполнения измерений

Включить лазер. После появления излучения генерации поворотом поляризатора 2 добиться на экране появления лишь одного пятна от луча, прошедшего через АО фильтр.

Включить обтюратор и осциллограф и добиться появления на экране осциллографа последовательности импульсов с периодом  $T$ .

Включить ВЧ-генератор и генератор импульсов и получить на экране осциллографа на одном луче картинку, изображенную на черт. 2, а на другом луче — огибающую ВЧ-импульса, амплитуда которого  $P$ , пропорциональна ВЧ-мощности управляющего сигнала.

Подстраивая частоту ВЧ-генератора 8 и поворачивая поляризатор 5 вокруг своей оси, добиться максимума разности  $V_1 - V_2$  (сигнал  $V_1$  при этом также должен достигать максимума).

За результат измерения принимают среднее из 10 значений, вычисленных по формуле (1).

### 3.4.2. Измерение ширины полосы пропускания АО фильтра

3.4.2.1. Ширину полосы пропускания  $\delta\lambda_{0,5}$  определяют по аппаратной функции АО фильтра. Определение аппаратной функции осуществляют свидетельством частоты  $f$  управляющего ВЧ-сигнала, подаваемой на ультразвуковой преобразователь АО фильтра, относительно центральной частоты  $f_0$ , соответствующей рабочей длине волны АО фильтра  $\lambda_0$ . Частота  $f_0$  должна отвечать максимуму эффективности АО взаимодействия на рабочей длине волны  $\lambda_0$ . В качестве  $\lambda_0$  удобно выбрать длину волны лазерного излучателя.

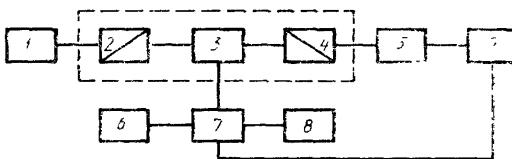
Частоту рассчитывают по формуле

$$f_0 = \frac{\Delta n \cdot V_{\text{зв}}}{\lambda_0} , \quad (2)$$

где  $\Delta n = n_i - n_d$  — разность показателей преломления падающей и дифрагированной световых волн;

$V_{\text{зв}}$  — скорость ультразвуковой волны в светозвукопроводе, м/с;

$\lambda_0$  — рабочая длина волны, нм.



1 — лазер; 2, 4 — поляризаторы; 3 — АО фильтр,  
5 — фотоприемник; 6 — генератор импульсов; 7 — ВЧ-генератор,  
8 — частотометр; 9 — осциллограф

Черт. 3

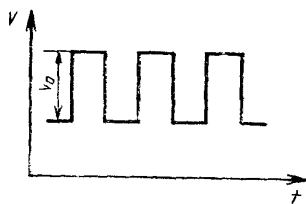
Схема для нахождения аппаратной функции представлена на черт. 3. Излучение лазера подают через поляризатор 2 на АО фильтр 3. Продифрагированный луч, отделенный от непродифрагированного с помощью поляризатора 4, поступает на фотоприемник 5, сигнал с которого отображается на осциллографе 9. ВЧ-генератор 7, управляющий фильтром, работает в импульсном режиме, задаваемом генератором импульсных сигналов 6. Частоту генератора контролируют частотометром 8. По длине волны излучения лазера  $\lambda_0$  предварительно оценивают значение центральной частоты управляющего сигнала перестраиваемого генератора по формуле (2).

Частотную аппаратную функцию определяют по осцилограмме, изображенной на черт. 4, отражающей временную зависи-

мость напряжения  $V$  сигнала с фотодиода на каждой из частот  $f$  ВЧ-генератора.

#### 3.4.2.2. Порядок выполнения измерений

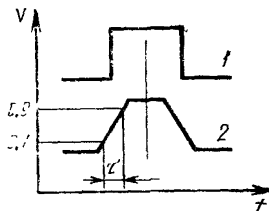
Включить лазер. После появления излучения генерации поворотом поляризатора 2 добиться на экране появления лишь одного пятна от луча, прошедшего АО фильтра.



$V_0$  — амплитуда импульса сигнала на экране осциллографа

Черт. 4

Включить осциллограф, генератор и частотомер. Перестраивая частоту ВЧ-генератора, добиться появления сигнала на экране осциллографа (черт. 5). Зафиксировать частоту  $f_0$  ВЧ-генератора и, поворачивая поляризатор 4, получить максимальный сигнал  $V_0(f_0)$  на экране осциллографа.



1 — управляющий сигнал; 2 — сигнал фотоприемника

Черт. 5

Изменяя частоту ВЧ-генератора в большую и меньшую стороны от  $f_0$ , найти частоты  $f_n$  и  $f_v$ , при которых значение  $V$  на экране осциллографа составит ориентировочно 0,2—0,3 максимального значения, полученного на частоте  $f_0$ .

Интервал частот от  $f_n$  до  $f_v$  разбить на 15—20 примерно равных участков и, поочередно устанавливая эти частоты, построить график зависимости  $V(f)$ . Определить из полученного графика следующие параметры аппаратной функции АО фильтра:

резонансную частоту  $f_p$ ;

ширину полосы пропускания  $\delta f_{0,5}$  на уровне 0,5 максимального значения  $V$ .

Ширину полосы пропускания  $\delta\lambda_{0,5}$  фильтра рассчитывают по формуле

$$\delta\lambda_{0,5} = \frac{2V_{3B}}{f_0^2} \cdot \delta f_{0,5}. \quad (3)$$

### 3.4.3. Измерение рабочей длины волны $\lambda_0$

Рабочую длину волны определяют из соотношения

$$\lambda_0 = \frac{V_{3B} \cdot \Delta n}{f_0}. \quad (4)$$

Нахождение  $\lambda_0$  сводится к измерению несущей частоты управляющего сигнала  $f_0$ , на которой регистрируется эффективная дифракция.

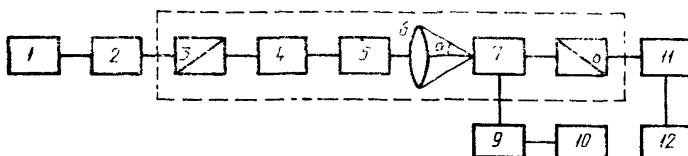
### 3.4.4. Определение быстродействия

3.4.4.1. Определение быстродействия АО фильтра сводится к установлению длительности переходного процесса в электронных и акустических цепях АО фильтра по схеме черт. 3.

### 3.4.4.2. Порядок выполнения измерений

Повторить операции по п. 3.4.2.1. Подать на АО фильтры импульс ВЧ-сигнала, длительность которого существенно (в 10—20 раз) превышает ожидаемое время установления ультразвуковых волн в светозвукопроводе.

Получить на экране осциллографа кривую, иллюстрирующую нарастание интенсивности дифракции по мере заполнения ячейки ультразвуковой волной (черт. 5).



1 — лазер; 2 — объективор; 3, 8 — поляризаторы; 4 — телескопический расширитель пучка; 5 — диафрагма; 6 — линза; 7 — АО фильтр; 9 — ВЧ генератор; 10 — генератор импульсов; 11 — фотомножитель; 12 — осциллограф

Черт. 6

За результат измерения быстродействия АО фильтра принимают величину  $\omega$ , определяемую как обратное значение времени  $t$  возрастания фронта импульса от 0,1 до 0,9 максимального значения.

### 3.4.5. Измерение угловой апертуры

3.4.5.1. Угловую апертуру измеряют по схеме черт. 6 с использованием формирователя оптического пучка с заданной расходи-

мостью. Формирователь должен состоять из расширителя пучка 4, диафрагмы с переменным размером отверстия 5 и линзы 6. За линзой образуется конусообразный пучок света с углом расходности конуса  $\alpha$ :

$$\alpha = \arctg \varphi = \pm \arctg \left( \frac{D}{2F} \right), \quad (5)$$

где  $D$  — диаметр отверстия диафрагмы мм;

$F$  — фокусное расстояние линзы 6, мм.

Измеряя зависимость эффективности дифракции от угла  $\alpha$ , найти такой угол  $\alpha_{0,5}$ , при котором выполняется условие:

$$\frac{I_d(\alpha_{0,5})/I_0(\alpha_{0,5})}{I_d(0)/I_0(0)} = \frac{1}{2}, \quad (6)$$

где  $I_d(0)$ ,  $I_0(0)$  — соответственно интенсивности дифрагированного и падающего нормально к поверхности светозвукопровода АО фильтра оптических лучей;

$I_d(\alpha_{0,5})$ ,  $I_0(\alpha_{0,5})$  — соответственно интенсивности дифрагированного и падающего в пределах угла  $\alpha$  к нормали оптических лучей, мВ.

#### 3.4.5.2. Порядок измерения угловой апертуры

Выполнить операции, изложенные в п. 3.4.1 и, перестраивая размер диафрагмы  $D$  от минимального до максимального значения, построить график зависимости

$$y(z) = \frac{I_d(z)/I_0(z)}{I_d(0)/I_0(0)}, \quad (7)$$

где  $I_d(\alpha)$ ,  $I_0(\alpha)$  — соответственно интенсивности дифрагированного и падающего под углом  $\alpha$  к нормали оптических лучей.

Решить графически уравнение  $y(\alpha) = 0,5$ .

За результат измерения принимают величину  $\alpha_{0,5}$ , являющуюся угловой апертурой АО фильтра.

#### 3.4.6. Измерение рабочего диапазона длин волн

Рабочий диапазон длин волн АО фильтра определяется с помощью панорамной установки для измерения КСВН, подключенной к входу АО фильтра.

Изменяя частоту встроенного генератора, найти участок диапазона частот от  $f_{\min}$  до  $f_{\max}$ , в котором значение КСВН изменяется не более чем на 3 дБ.

За результат измерения принимают величину  $\Delta\lambda$ , определяемую по формуле

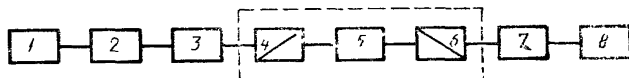
$$\Delta\lambda = \lambda_{\max} - \lambda_{\min} = \frac{V_{\text{вн}} \Delta n}{f_{\max} - f_{\min}} \cdot \Delta f, \quad (8)$$

где  $f_{\max}$ ,  $f_{\min}$  — границы частот рабочего диапазона, МГц.

$$\Delta f = f_{\max} - f_{\min}. \quad (9)$$

## 3.4.7. Измерение оптического контраста АО фильтра

3.4.7.1. Оптический контраст  $m_x$  при отсутствии ультразвуковой волны измеряют по схеме (черт. 7), позволяющей сравнивать сигналы с различной поляризацией



1 — лазер, 2 — объектив, 3 — модулятор, 4, 6 — поляризатор, 5 — АО фильтр, 7 — фотоприемник, 8 — селективный микровольтметр

Черт 7

Луч света от лазера 1 проходит через объектив 2, модулятор 3 и поляризационную призму 4 и попадает в измеряемый АО фильтр 5, где происходит его частичная деполяризация. Частично деполяризованный свет проходит через поляризатор 6 и попадает на фотоприемник 7, электрический сигнал с которого измеряется селективным микровольтметром 8. Вращая поляризатор вокруг оптической оси, установить и зарегистрировать микровольтметром минимальный сигнал  $U_{\min}$ . Повернув поляризатор 6 на  $90^\circ$ , регистрируют максимальный сигнал  $U_{\max}$ .

Оптический контраст  $m_x$  вычисляют, как среднее из 10 измерений, по формуле

$$m_x = \frac{U_{\max}}{U_{\min}} . \quad (10)$$

3.4.7.2. Оптический контраст  $m_r$  при прохождении в нем ультразвуковой волны измеряют по схеме черт. 3.

Настроить частоту управляющего сигнала ВЧ генератора 7 на частоту эффективного акустооптического взаимодействия с лазерным излучением на длине волн  $\lambda_0$  и зарегистрировать сигнал  $A_\lambda$  на выходе фотоприемника 5.

Выключить управляющий сигнал ВЧ-генератора 7 и также зарегистрировать сигнал  $A_0$  на выходе фотоприемника.

Оптический контраст  $m_r$ , характеризующий вклад фона в суммарное излучение на выходе АО фильтра с возбужденной в нем ультразвуковой волной, определяется по формуле

$$m_r = \frac{A_\lambda}{A_0} . \quad (11)$$

3.4.8. При измерении параметров АО фильтров погрешности результата прямых измерений должны рассчитываться по ГОСТ 8 207, а свидетельских измерений — по МИ 1730.

ПРИЛОЖЕНИЕ 1  
Справочное

### АНАЛИТИЧЕСКИЕ СООТНОШЕНИЯ, ОПРЕДЕЛЯЮЩИЕ ОСНОВНЫЕ ПАРАМЕТРЫ АО ФИЛЬТРОВ

Основные соотношения для параметров АО фильтров определяют по следующим формулам:

$$\lambda_0 = \frac{V|n_t - n_d|}{f} , \quad (12)$$

для неколлинеарного АО фильтра

$$\lambda_0 = \frac{V|n_t - n_d|}{f} \cdot \frac{\sin^2 \Theta_t}{\sin(\Theta_t - \gamma)} , \quad (13)$$

где  $\lambda_0$  — рабочая длина волны, мм,

$V$  — скорость УЗ волны, м/с,

$|n_t - n_d| = \Delta n$  — разность показателей преломления падающего и дифрагированного световых лучей,

$f$  — частота акустической волны, МГц;

$\Theta_t$  — угол Брэгга, рад,

$\gamma$  — угол преломления, рад

Ширину полосы пропускания по свету для строго коллинеарного взаимодействия  $\delta\lambda$  определяют по формуле

$$\delta\lambda \approx \frac{\lambda_0^2}{\Delta n L} , \quad (14)$$

где  $L$  — длина области коллинеарного АО взаимодействия, мм. Значения  $\delta\lambda$  по свету определяют по половинному уровню кривой пропускания АО фильтра

В случае квазиколлинеарного (или неколлинеарного) взаимодействия формула (12) без учета дисперсии света преобразуется к виду

$$i\lambda = \frac{\lambda^2}{\Delta n L \sin^2 \Theta_t} \quad (15)$$

При акустооптическом взаимодействии расходящихся УЗ пучков полоса пропускания неколлинеарного фильтра растет линейно с увеличением расходимости и уменьшается с приближением к режиму коллинеарной дифракции.

Быстродействие АО фильтра  $t^{-1}$  характеризуется интервалом времени (длительностью прохождения акустической волны расстояния, равного длине АО взаимодействия). Быстродействие АО фильтра  $\omega$  находят по формуле

$$\omega = t^{-1} = \frac{V}{L} . \quad (16)$$

Эффективность дифракции АО фильтра характеризует его коэффициент передачи по свету.

При коллинеарном взаимодействии эффективность дифракции АО фильтра определяют по формуле

$$\tau_i = \frac{I_d}{I_t P_{\text{эл}}} , \quad (17)$$

где  $I_d$  — интенсивность дифрагированного луча, мВт,

$I_t$  — интенсивность падающего луча, мВт,

$P_{\text{эл}}$  — мощность управляющего электрического сигнала, Вт.

Рабочий диапазон длии воли  $\Delta\lambda$  определяют в частотной полосе  $\Delta f$  по уровню изменения эффективности дифракции на 3 дБ от максимального значения.

$$\Delta\lambda = \lambda_{\max} - \lambda_{\min} = \frac{2V\Delta n}{f^2} \cdot \Delta f \quad (18)$$

с учетом дисперсии показателя преломления  $n$

$$\Delta\lambda = \frac{\lambda_0^2}{2L \left( \Delta n + \lambda_0 \frac{dn}{d\lambda} \right)} \quad (19)$$

Угловая апертура АО фильтра определяет диапазон входных углов светового луча, в котором эффективность дифракции отличается от эффективности дифракции при нормальном падении светового луча на входную грань не более чем на 3 дБ. Угловую апертуру  $\psi$  (с учетом преломления света на входной грани) определяют по формуле

$$\psi = 2n(\lambda_0/L\Delta n)^{1/2} \quad (20)$$

*Оптический контраст* АО фильтра характеризует качество выделения сигнала, т. е. ослабление оптического излучения вдали от центра полосы пропускания фильтра. Зависимость эффективности дифракции от расстройки определяют по формуле типа  $(\sin x/x)^2$ , которая характеризуется наличием боковых максимумов убывающей амплитуды.

**ПРИЛОЖЕНИЕ 2**  
*Справочное*

**П Е Р Е Ч Е Н Ъ**

**рекомендуемой аппаратуры для контроля параметров фильтров**

Лазер (оптический генератор) типа ЛГ-77 по ГОСТ 25373

ВЧ-генератор типа Г4—143 по ГОСТ 23767

Фотоэлектронный усилитель типа ФЭУ-69А по ГОСТ 25370

Оscиллограф типа С1-83 по ГОСТ 9829

Генератор импульсных сигналов типа 75-54

Частотомер типа ЧЗ-36,

Селективный вольтметр типа В6-9 по ГОСТ 22261

**П р и м е ч а н и е.** Измерительные приборы могут быть заменены приборами других типов, обеспечивающими выполнение требований стандарта.

## ИНФОРМАЦИОННЫЕ ДАННЫЕ

1. РАЗРАБОТАНЫ И ВНЕСЕНЫ Комитетом стандартизации и метрологии СССР

### РАЗРАБОТЧИКИ

В. Н. Масленников, канд. физ.-мат. наук; Н. А. Халомеева

2. УТВЕРЖДЕНЫ И ВВЕДЕНЫ В ДЕЙСТВИЕ Постановлением Комитета стандартизации и метрологии СССР от 18.11.91 № 1753

3. ВВЕДЕНЫ ВПЕРВЫЕ

4. ССЫЛОЧНЫЕ НОРМАТИВНО-ТЕХНИЧЕСКИЕ ДОКУМЕНТЫ

Обозначение НТД, на который дана ссылка	Номер пункта
ГОСТ 8.207-76	3.4.8
ГОСТ 9829-81	Приложение 2
ГОСТ 22261-82	3.1.1; 3.2.1; приложение 2
ГОСТ 25370-82	Приложение 2
ГОСТ 25373-82	3.2.4.1; Приложение 2
МИ 1730-87	3.4.8.

### РЕКОМЕНДАЦИИ ФИЛЬТРЫ АКУСТООПТИЧЕСКИЕ. Типы, основные параметры, методы измерений

Р 50—124—91

Редактор В. М. Лысенкина  
Технический редактор О. Н. Никитина  
Корректор В. И. Кануркина

Сдано в наб. 2.01.92 Подп. в печ. 20.05.92 Формат 60×90 $\frac{1}{16}$ . Бумага офсетная. Гарнитура «Литературная». Печать высокая. Усл. печ. л. 1,0 Усл. кр.-отт. 1,0. Уч.-изд. л. 0,83. Тираж 339 экз. Зк. 239 Изд. № 1113/4

Ордена «Знак Почета» Издательство стандартов, 123557, Москва, ГСП,  
Новоцерковский пер., 3  
Калужская типография стандартов, ул. Московская, 256.